

京大 工 正員 平岡正勝
 京大 工 正員 池田有光
 ○京大 工 学生員 岡部義信

1. はじめに

汚染物質の大気中伝播過程に関する研究は、その濃度予測をする上で重要な問題である。現在そのメカニズムを解明するために、風洞実験、屋外観測等が行われているが、その中で特にここで水理模型による方法をとり上げたのは、対象が同じく流体であり、しかも小型で取り扱いが容易で、特定の現象のみに注目するならば、大気との相似性を十分満たすであろうと考えたからである。

従来の研究では、物質の伝播過程において、自然対流と強制対流の両者が同時にその役割を果たすという形のものはほとんど報告されていない。そこで、ここでは強制対流が存在し、しかも水平な底面には熱源があり、不安定成層をなしている流れ中の物質及び熱拡散について考察する。ただしこの場合、境界層方程式を立てるわけであるが、底面と流体本体との温度差 ΔT が大きく、自然対流による鉛直方向の流速が水平方向の流速に比べて無視できない場合は境界層方程式が成り立たなくなる。そこで、今は ΔT を小さくして、不安定成層をなしていないが、浮力の効果による鉛直方向の流速が水平方向の流速に比べて無視できる場合について考える。

以上のような条件の下で実験を行い、数値計算と合わせて、安定度の変化に伴う拡散係数の変化を評価し、同時に温度境界層の形成、流速分布、濃度分布の変化を評価して、大気中にあける同現象に相似させるのが本研究の目的である。

2. 基礎式とその計算

先に述べた条件を、Boussinesq 近似を導入して、境界層方程式で表現すると次のようになる。

$$U \frac{\partial U}{\partial X} + V \frac{\partial U}{\partial Z} = - \frac{1}{\rho} \frac{\partial P}{\partial X} + \frac{\partial}{\partial Z} \left(\nu \frac{\partial U}{\partial Z} \right) \quad (1)$$

$$0 = - \frac{1}{\rho} \frac{\partial P}{\partial Z} + g \beta \Delta T \quad (2)$$

$$\frac{\partial U}{\partial X} + \frac{\partial V}{\partial Z} = 0 \quad (3)$$

$$U \frac{\partial T}{\partial X} + V \frac{\partial T}{\partial Z} = \frac{\partial}{\partial Z} \left(\alpha \frac{\partial T}{\partial Z} \right) \quad (4)$$

$$U \frac{\partial C}{\partial X} + V \frac{\partial C}{\partial Z} = \frac{\partial}{\partial Z} \left(D \frac{\partial C}{\partial Z} \right) \quad (5)$$

X : 水平方向の座標、 Z : 鉛直方向の座標

U, V : 水平、鉛直方向の流速、 T : 温度、 C : 濃度、 ρ : 密度

g : 重力加速度、 β : 膨張率、 ν : 動粘性係数、 α : 热拡散係数、 D : 拡散係数

境界条件は

$$B.C. 1 \quad \text{at } X=0 \quad U=A Z^P \quad T=T_\infty \quad C=M \delta(Z-h)$$

$$B.C. 2 \quad \text{at } Z=0 \quad U=V=0 \quad T=T_0 \quad \frac{\partial C}{\partial Z}=0$$

$$B.C. 3 \quad \text{as } Z \rightarrow \infty \quad U \rightarrow U_\infty \quad T \rightarrow T_\infty \quad C \rightarrow 0 \quad P \rightarrow \text{const} \quad \text{である。}$$

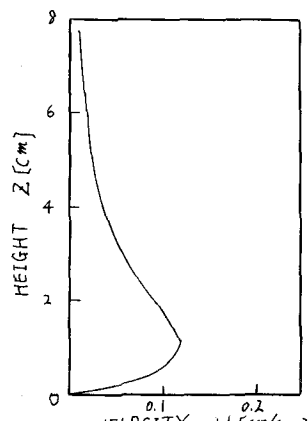


Fig. 1

この式の数値計算は、強制対流がなく、 ν 、 α 、 D が場所によらず一定である場合については、適当な相似変数を見つけて常微分方程式に変換して解いた例があるが、2次境界層問題にふるたぬために火れどもかなりや、かいである。筆者らは、Prandtl数が ν の場合について同様に自然対流のみの場合を計算してみた。その時の流速分布をFig-1に示す。次に、強制対流があり、 ν 、 α 、 D が変化する場合については報告例が少く、計算手法もまだ十分開発されていないようである。本研究においては、実験結果と計算結果を比較するのも目的の1つであるが、現在その計算中である。

3. 実験結果及び考察

実験はFig-2に示すような装置で行なった。各量の測定法は表-1に示す通りである。また拡散係数を、隣接した2つの流下距離での濃度プロフィールの分散から求めた。測定位置は壁の影響を避けるために、水槽中央で行ない、同時に表面張力の効果を避けるために底盤から10cm程度とした。

Fig-3は底盤からの加熱がある場合と、ない場合の速度分布の差を示したものである。これによると加熱によつて、指數分布と仮定した速度プロフィールの指數が小さくなることがわかるであろう。

次にFig-4は、温度境界層の形成の様子を示したものである。境界層理論によると、温度境界層厚み f_l と、Reynolds数 α とPrandtl数 ν の関係は

$$(\delta_l/l)^{1/4} \propto (\kappa \cdot P)$$

である。もし、 $P = \text{const}$ であれば f_l は \sqrt{x} に比例する。

濃度分布については、測定した拡散係数を用いて、Parcell'sの式から計算した濃度分布と、実測値との比較をFig-5に示す。

4. 本モデルの大気現象への適用について

本モデルの実際の大気現象への適用で、注意しておかなければならぬことは、水槽中での現象がすべて同時に大気現象を相似しているわけではないということである。だからこのモデルをそのままの形で実際の大気汚染に適用することはできない。しかし特定の現象(例えば拡散、流速分布等)1つずつに注目して各々の場合の縮尺のスケールを求めれば、実際の大気汚染問題に適用することは可能である。

最後に、本研究を進めるに当たり、惜しまぬ協力を提供して下さった
(参考文献) J. van & B. Gebhart "Natural convection flow adjacent to heated surface resulting from..." J. Heat Mass Transfer vol. 15 (1972)

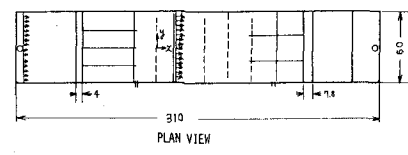
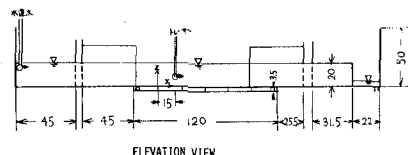


FIG-2

流速	スキムミルクを水に溶かし、メチルアルコールで比重調整したものを持回して流し、カメラのシャッターを開けにしてストロボを2度つき、次の時間間隔とトレーサーの変位から測定する。
濃度	比色法により、自動記録させる。
温度	サミスター温度計で測定し、自動記録させる。

表-1

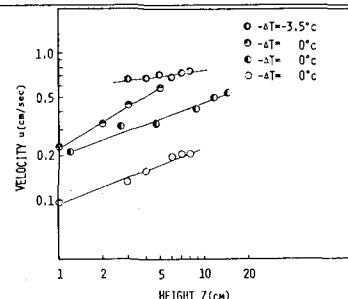


FIG-3 VARIATION OF VELOCITY WITH HEIGHT

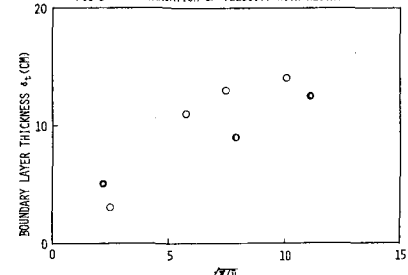


FIG-4 VARIATION OF THERMAL BOUNDARY LAYER THICKNESS WITH RE

